

第二屆和平利用原子能國際會議文獻

辐射的生物效应与 安全防护

4

中国科学院原子核科学委员会編輯委員會編輯
科 學 出 版 社 出 版

中華人民共和國
社會主義



中華人民共和國
社會主義

輻射的生物效应与安全防护(4)

中国科学院原子核科学委员会編輯委員會編輯

*

科学出版社出版 (北京朝阳门大街 117 号)

北京市书刊出版业营业許可證出字第 061 号

中国科学院印刷厂印刷 新华书店总經售

*

1960 年 3 月第一版

书号：2133 字数：76,000

1960 年 3 月第一次印刷

开本：787×1092 1/16

(京) 0001—5,000

印张：3 插页：2

定价：0.44 元

目 录

P/909	X 線照射的家兔抗体形成能力的恢复	1
P/913	正常及照射过的動物胃腸上皮細胞的更新、成熟及衰退	7
P/1008	放射性鈸在人体內之代謝及去污染；生物學及医学中之絡合作用	12
P/1390	大白鼠淋巴結的放射性損害恢復過程的研究	24
P/1405	鈣在輻射損傷中的作用	28
P/1509	抗菌素對X光照射後小鼠自生性及實驗性感染的治療作用	35
P/2132	在放射病發病過程中腎上腺的作用問題	44

X 線照射的家兔抗体形成能力的恢復*

W. H. Taliaferro** and B. N. Jeroslow***

在一次注射 1.6×10^9 綿羊紅血球之前 24 小時，全身再接受 400 伦琴 X 線照射的家兔所产生的溶血素效價的幾何平均數約為正常的 12%^[1]。在這種情況下，X 線對於抗體形成機制的損害在於免疫反應早期相，這種早期相可能是誘導過程，相當於細菌形成適應酶的誘導過程^[2]。為了獲得有關以這種免疫過程起始的機制和 X 線對於抗體合成損害本質的知識，我們觀察了使接受同樣 X 線照射的家兔抗體形成能力恢復的各種方法，這種研究可能對治療上有所幫助。

在我們的工作之前，S. Harris 和 T. N. Harris 二氏^[3]以及 T. N. Harris 氏等^[4,5]曾發現給 X 線照射(425 伦琴)的家兔注射會與痢疾杆菌或它的可溶性抗原一起孵育的、並經過洗滌的淋巴結細胞，或者將細胞或抗原分別注射，家兔都能形成抗痢疾杆菌的抗體。然而 Roberts 和 Dixon^[6]二氏在類似的實驗中，以 bovine丙種球蛋白作為抗原，則得到陰性的結果。

1956年我們發現，在靜脈注射綿羊紅血球加以家兔脾臟或正常小白鼠脾臟或 Hela 細胞(組織培养的人子宮頸類上皮癌細胞)的制剂或酵母浸液^[1]的前一天，給家兔以 400 伦琴 X 線照射，其溶血素形成的能力有不同程度的恢復。隨後的初步研究指出^[7]，這種能力與酵母浸液中的非透析部分有關。從那時起，我們探討了很多產物的這種恢復能力。

材 料 和 方 法

家兔全為雌性，體重介於 1.8 至 3.9 公斤之間。組織均用 Potter-Elvehjem 氏磨碎器切碎和研磨。制剂的注射量為 0.5 至 2 克。酵母浸液是用 pH 7.4 磷酸鹽緩衝液將乾燥的酵母製成 1:3 的懸液，室溫中放置過夜，然後在 4°C，以平均重力場 20,000 xg 离心沉淀 30 分鐘。保留上清液。表 2 內 3 組及 6 組所用的酵母浸液為 Difco 公司的商品，其效果相當於乾燥的酵母浸液。所有動物都是一次靜脈注射 1.6×10^9 綿羊紅血球。實驗材料與紅血球懸液混合後立即注入家兔右側耳翼靜脈。

試管中溶血素效價的測定方法，詳見 W. H. Taliaferro 和 L. G. Taliaferro^[8,9]二氏以及 Taliaferro 氏等^[10]的記載。溶血素的效價按 W. H. 和 L. G. Taliaferro 二氏採取的每毫升血清所含 50% 溶血單位計算。50% 溶血單位，簡單的說，就是在存在四個 50% 單位的補體時，使 2 毫升標準的 1% 紅血球懸液(約 1.6×10^8 個細胞/每毫升)於 37°C 30 分鐘產生 50% 溶血所需的血清量。溶血程度是用 Klett-Summerson 比色計測定的。依據 Von Krogh^[11]方程式描記溶血程度與血清量的關係，然後讀取效價。

* “第二屆和平利用原子能國際會議文獻”編號 A/Conf. 15/P/909，美國，原文為英文。

** 國立醫研究所，美國，萊蒙特城，依利諾州。

*** 芝加哥大學微生物系，美國，芝加哥城。

为了結果的統計学分析,采用了高峯效价的对数值使算术值的奇支斜分布規格化(見W. H. 和 L. G. Taliaferro 二氏)。

对家兔全身进行 400 伦琴照射的条件如下: 250 kv, 15 ma, 滤板为 0.5 毫米厚的銅和 3.0 毫米厚的电木, 照射的靶距为 76 厘米以及每分钟 29 伦琴的剂量率。动物被固定在穿孔的鋁制箱子中, 取水平位照射, 这样可以使 X 線的剂量得以均匀分布。

結 果

未曾照射的动物在靜脉注射 1.6×10^9 紅血球/公斤后, 典型溶血素曲綫是在 3 天內开始上升, 第 8 天达到高峯, 效价为 3.26 ± 0.04 , 以后逐漸下降。在头一天用 400 伦琴照射的家兔接受同样的注射, 其溶血素曲綫直至第 8 天尚未开始上升, 在第 18 天才达到高峯, 效价只有 2.36 ± 0.06 。由此可見, X 線照射显著地抑制了溶血素的形成。未曾照射以及照射的动物的代表性的曲綫如图 1 所示。

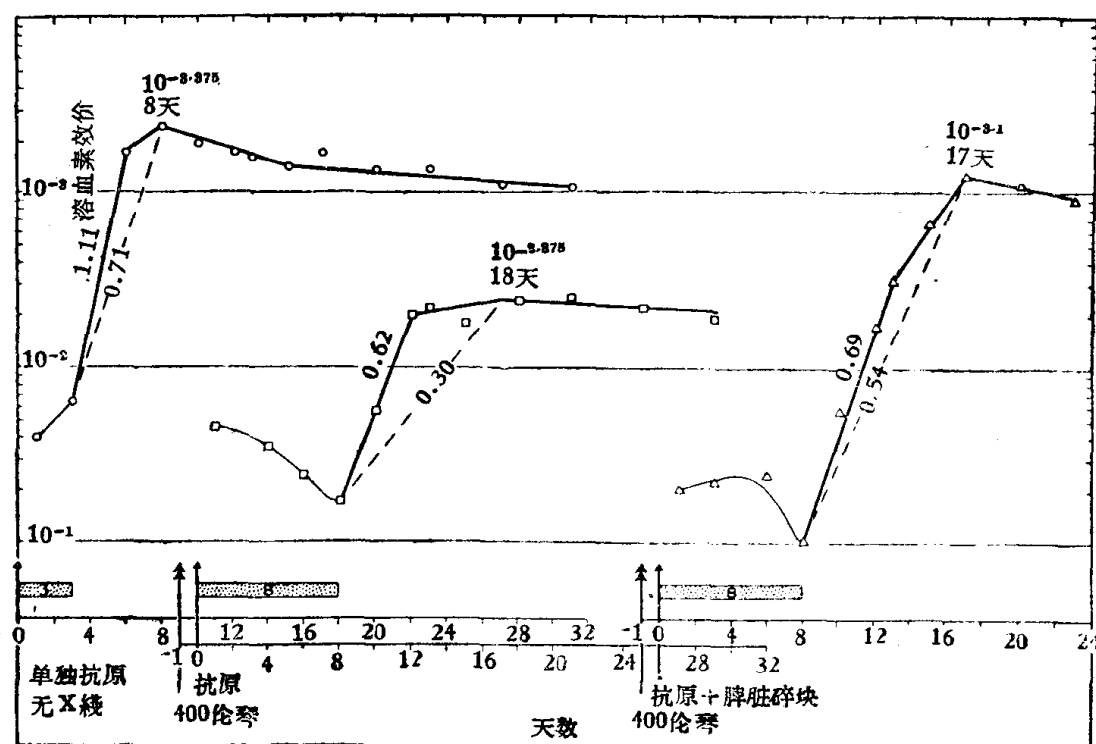


图 1 代表每組典型情况的三只家兔的抗体曲綫。照射过的家兔注射脾脏碎块后所出現的抗体高峯和累积率介于未曾照射的和照射的家兔之間,而且和照射的对照一样,有一个延长的誘导期 (Jaroslow and Taliaferro^[1])。

在我們以前的研究材料中(表1), 400 伦琴 X 線照射后溶血素形成能力的恢复可以分成:不能恢复,部分的恢复以及完全恢复三种类型。正常家兔肾脏或肌肉的碎块浸液当与抗原混合注入时,对抗体形成的恢复沒有統計学的意义。正常家兔和小白鼠脾脏的同样制剂給予部分的但很显著的恢复,約为未曾照射家兔高峯效价的对数的 45%。Hela 細胞的悬液或浸液和酵母的浸液或自体溶解物給予完全的恢复。这些类型在評价本文报告的新工作中具有重要的意义。必須指出, 抗体的恢复是以未曾照射的家兔的溶血素高峯效价的对数测量的。抗体形成时间上的和产率上的差异已在图 1 中用单个家兔的代表性的曲綫表明,这里不加討論。

表 1 与 1.6×10^8 細羊紅血球(紅血球)同时靜脉注射的各种物质对注射前 24 小时曾經照射 400 伦琴的家兔的溶血素形成的影响, 以高峯效价为測量标准(4 至 8 組), 1 至 3 組为对照 仿 Jaroslav 和 Taliaferro.

家兔組別	X 線剂量 (伦琴)	注 射 物 質*	高峯效价, 平均数		家兔数目
			对 数**	几何的	
1	0	紅血球	3.28 ± .06a	1900	51
2	400	紅血球	2.35 ± .10A	220	34
3	400	注射家兔脾脏后再注射紅血球	2.11 ± .44A	130	13
4	400	紅血球加家兔肾脏	2.37 ± .10A	240	24
5	400	紅血球加家兔肌肉	2.25 ± .11A	180	22
6	400	紅血球加家兔肝脏	2.70 ± .08Ab	500	45
7	400	紅血球加小白鼠脾脏	2.92 ± .13Cb	840	8
8	400	紅血球加 Hela 细胞	3.26 ± .14a	1800	9

* 第 1 組包括未曾照射的家兔, 給以抗原(紅血球)或給以抗原和各种組織的混合物注射。第 3 組在抗原(紅血球)注射前一天, X 線照射后一小时, 注射正常家兔脾脏制剂。第 3 至第 9 組注射制剂为碎块或者是浸液。各种动物所注射的組織制剂为 0.5 至 2 克。

** 大写字母用来表示与未曾照射的对照做比較, 小写字母表示与照射的对照做比較。沒有字母的 $P > 0.05$. A 或 a, $P \leq 0.001$; B 或 b, $P = 0.002-0.01$; C 或 c, $P = 0.02-0.05$.

本研究总结于表 2。其中包括酵母的各种对照研究, 以及核酸, 特异的核酸酶, 核酸的特异性核酸酶的消化物, Kinetin 和核苷的代表物, 核苷酸以及嘌呤基的恢复能力的研究。

表 2 与 1.6×10^8 細羊紅血球(紅血球)同时靜脉注射的各种物质对注射前 24 小时曾經照射 400 伦琴的家兔的溶血素形成的影响(7—17 組), 以高峯效价为測量标准。包括 6 个对照組(1—6 組)

家兔組別	X 線剂量 (伦琴)	注 射 物 質*	每只家兔 注射毫克	高峯效价(平均数)		家兔数目
				对 数**	几何的	
1	0	紅血球		3.26 ± 0.04a	1830	56
2	0	紅血球加酵母提出液	2000	3.49 ± 0.14Ca	3100	15
3	0	酵母提出液	100	1.70 ± 0.02Aa	50	3
4	400	紅血球		2.36 ± 0.06A	230	59
5	400	紅血球+酵母提出液	2000	3.13 ± 0.03a	1333	25
6	400	酵母	100	1.56 ± 0.18Aa	35	7
7	400	紅血球加去氧核糖核酸和去氧核糖核酸酶		2.73 ± 0.11Ab	531	31
8	400	紅血球加去氧核糖核酸酶	10	2.53 ± 0.14A	340	17
9	400	紅血球加去氧核糖核酸	100	2.48 ± 0.15A	303	13
10	400	紅血球加核糖核酸和核糖核酸酶		2.77 ± 0.15Ab	586	15
11	400	紅血球加核糖核酸酶	10	2.88 ± 0.16Ab	750	10
12	400	紅血球加核糖核酸	100	2.01 ± 0.17A	103	9
13	400	紅血球加 Kinetin	4, 10 或 12	2.79 ± 0.12Ab	618	17
14	400	紅血球加腺嘌呤	10	2.39 ± 0.14A	248	9
15	400	紅血球加腺嘌呤核苷	10	2.33 ± 0.13A	216	9
16	400	紅血球加腺苷酸	10	2.35 ± 0.21A	228	6
17	400	紅血球加粗制鳥便嘌呤核苷	57	2.37 ± 0.07A	236	7

* 核酸和核酸酶系放在 37°C 培育 5 小时, 混合使用和单独使用的剂量相同。

** 大写字母表示与未曾照射的对照比較, 小写字母表示与照射的对照做比較, A 或 a, $P \leq 0.001$; B 或 b, $P = 0.001-0.01$; C 或 c, $P = 0.01-0.05$ 沒有字母標記的 $P > 0.05$.

在酵母对照中，第 3 組指出酵母本身并不是抗原，因此酵母的恢复能力不能被認為是增加抗原的剂量。这一組溶血素的效价維持于免疫前的效价范围内。高聚核酸(9 組和 12 組)都不出現任何的恢复，而核酸的特异性核酸酶的消化物則出現显著的恢复(7 組和 10 組)，达到注射脾脏碎块的水平。核糖核酸酶单独有作用(11 組)，但是去氧核糖核酸酶却沒有作用(8 組)。我們相信这些結果表明了核酸的特异性消化物有部分的恢复作用，且其效力約相当于表 1 中所載的脾脏浸液或碎块。

核酸酶的活动力的差异可能与它所作用的特异性基質有关，如后面所討論的。

Kinetin (6-aminofurfurylpurine) 是去氧核糖核酸的一种退行性衍化物，具有和核酸的消化物相同的活性。其他的嘌呤衍化物例如腺嘌呤，腺嘌呤核昔，腺昔酸或鳥便嘌呤核昔(14, 15, 16, 17 組)沒有任何的恢复能力。

討 論

家兔或小白鼠脾脏碎块和浸液約能使高峯效价恢复对数的 45%。核酸消化物和 Kinetin 純予約相同程度的恢复。与此呈明显的对比，酵母和 Hela 細胞制剂給予完全的恢复。Kinetin 和核酸消化物的效果說明了核酸的衍化物的作用。給予完全恢复的酵母的活动力(5 組)可能部分地由于同型的核酸衍化物所致。然而它的活动力不能单独地用这些衍化物的存在來說明，因为在核酸的消化物中所含的核糖核酸，核糖核酸酶以及 Kinetin 比酵母浸液为多。因此在酵母浸液中含有其他化合物，它們能加強核酸衍化物的作用，似乎是可能的。Von Eular 和 Hahn^[13] 二氏曾報告 Baker's 酵母当在硷性状态加热后可获得 7.0% 核糖核酸和 0.3% 去氧核糖核酸。与此結果不同，我們曾从酵母中提出核酸全量約 150 毫克。此量比平时所用的多 1/3，但是这种核酸絕大多数都呈不活動的聚合体状态。核酸量极少的 Hela 細胞的活动力与酵母一样。脾脏碎块含有的核酸可能象 Hela 細胞一样多，但其活动力較小 (Leslie^[14])。

必須特殊注意，核糖核酸酶是有恢复能力、而去氧核糖核酸酶沒有。核糖核酸酶具有活动力可能是因为在綿羊細胞抗原中具有核糖核酸，或者在曾照射的动物体内存在核糖核酸。細胞化学的方法証明，在核糖核酸酶存在下，完整的細胞中的核酸量減少。核糖核酸酶的这些活动性曾被 Brachef^[15] 氏加以討論。这些結果說明核糖核酸酶能作用于細胞內的基質。去氧核糖核酸酶只有如此微小的活动力是因为抗原中缺少基質，也可能是因为它不能透過完整的細胞。在 Askonas^[16] 氏等在他們关于蛋白質合成的綜述中所記載的所有研究中提到，去氧核糖核酸酶在試管中的活动能力与損傷的細胞有关。高聚核酸的不活動性支持了核酸分解产物有利于免疫過程的开始阶段的意見。

Kinetin 是唯一的經化学鑑定的核酸的衍化物，这种衍化物具有明显的恢复能力。在动物体中，它对多核昔的形成可能是很重要的，后者可能作为活动因子。在植物中，Miller^[17, 18] 氏等发现，Kinetin 在很低的浓度下、在細胞发生过程中，具有活性。

从表 1、表 2 材料的比較中可以看出，具有高水平恢复能力的組織(兔脾脏，小白鼠脾脏以及 Hela 細胞)全是生长过程，即核糖核酸和去氧核糖核酸的合成，正在活跃地进行的組織。生长过程限制于修复中的組織，例如肾脏和肌肉，沒有恢复能力。

接受酵母浸液和抗原而未曾照射的家兔(表 2, 2 組)，抗体的形成較正常量为多，此点可以說明这种恢复剂的水平在正常动物内有一个限度。在未照射的家兔中酵母浸液的

輔剂作用的机制可能与照射前2小时注射抗原产生較正常量为高的抗体的机制相似^[10,19]。在这两种情况中,重要的因素都是暂时存在有大量的恢复因子。当抗原注射于用大剂量X線处理的一个小的区域(細胞破坏严重^[20])可以刺激抗体的形成。与此情况有些相似,經2,000—3,000伦琴照射暴露在外部的脾脏表面的家兔2天后靜脉注入抗原,溶血素的形成被加強。这种加强作用可能是由于因細胞的大量破坏而产生的足够的分解产物,在脾脏中瀦留,合并大量抗原局限在脾脏中的結果。家兔脾脏照射的剂量在1,400伦琴以下只能产生正常量的抗体,也支持了这种論点。Leslie 氏在他的綜述中指出,X線照射与核酸分解产物迅速出現和隨即消失有关。在他所报导的工作中可以看出,大白鼠在照射之后,一些器官的核糖核酸含量減低。这种減低說明核酸較早的去聚合作用和因而起分解产物的迅速积聚。

因照射而增強抗体形成的另一些例子則具有不同的本質(見 W. H. 和 L. G. Taliaferro^[21])。

最后,抗体形成能力的恢复可能是蛋白合成的核酸控制的一部分。恢复物质的鑑定有助于X線損害抗体形成的机制的了解。因为X線影响抗体形成的早期相,所以同一研究对于免疫过程的誘導机制的了解和(或)产生这种誘導过程的条件的确定都是重要的。

結 論

正常家兔或小白鼠脾脏制剂可以使接受X線(400 伦琴)照射的家兔的溶血素形成的能力恢复至正常水平的45%,而同样的正常家兔的肾脏或肌肉制剂則无作用。核酸的消化物,核糖核酸酶以及去氧核糖核酸的衍化物——Kinetin 具有同等程度的恢复能力。高聚核酸,以及它們的嘌呤基和衍化物,例如腺嘌呤,腺嘌呤核昔,腺昔酸或鳥便嘌呤核昔,都沒有活动力。酵母和 Hela 細胞制剂給予完全的恢复。酵母似乎含有 Kinetin 或别的核酸产物以及能加強这些物质活动力的其他因子。

这些制剂的恢复能力可能与蛋白质合成中的核酸控制有关。

參 考 文 獻

- [1] Jaroslow, B. N. and Taliaferro, W. H., The Restoration of Hemolysinforming Capacity in X-irradiated Rabbits by Tissue and Yeast Preparations, *J. Infect. Diseases*, 98:75—81 (1956a).
- [2] Taliaferro, W. H., Modification of the Immune Response by Radiation and Cortisone, *Ann. N. Y. Acad. Sci.*, 69:745—764 (1957).
- [3] Harris, S. and Harris, T. N., Studies on the Transfer of Lymph Node Cells. V. Transfer of Cells Incubated in vitro with Suspensions of *Shigella paradysenteriae*, *J. Immunol.*, 74:318—328 (1955).
- [4] Harris, T. N., Harris, S. and Farber, M. B., Transfer to X-irradiated Rabbits of Lymph Node Cells Incubated in vitro with *Shigella paradysenteriae*, *Proc. Soc. Exptl. Biol. Med.*, 86:549—553 (1954).
- [5] Harris, T. N., Harris, S. and Farber, M. B., Studies of the Transfer of Lymph Node Cells. VI. Transfer of Cells Incubated in vitro with *Shigella* Treated Serum, *J. Immunol.*, 75:112—122 (1955).
- [6] Roberts, J. C. Jr., and Dixon, F. J., The Transfer of Lymph Node Cells in the Study of the Immune Response to Foreign Proteins, *J. Exptl. Med.*, 102:379—392 (1955).
- [7] Jaroslow, B. N. and Taliaferro, W. H., Restoration of Hemolysinproducing Capacity in X-irradiated Rabbits *Federation Proc.*, 15:594 (1956b).
- [8] Taliaferro, W. H. and Taliaferro, L. G., The Dynamics of Hemolysin Formation in Intact and Splenectomized Rabbits, *J. Infect. Diseases*, 87:37—62 (1950).
- [9] Taliaferro, W. H. and Taliaferro, L. G., X-Ray Effects on Hemolysin Formation in Rabbits with the Spleen Shielded or Irradiated, *J. Infect. Diseases*, 99:109—128 (1956).

- [10] Taliaferro, W. H., Taliaferro, L. G. and Janssen, E. F., The Localization of X-Ray Injury to the Initial Phases of Antibody Response, *J. Infect. Diseases*, 11:115—124 (1952).
- [11] von Krogh, M., Colloidal Chemistry and Immunology, *J. Infect. Diseases*, 19:452—477 (1916).
- [12] Taliaferro, W. H. and Taliaferro, L. G., Effect of X-Rays on Hemolysin Formation Following Various Immunization and Irradiation Procedures, *J. Infect. Diseases*, 95:117—133 (1954a).
- [13] von Euler, H. and Hahn, L., Ribonukleinsäuren und Ribonukleotide in Hefen. I. *Arkiv for kemi, mineralogi och geologi*, 24A (28):1—9 (1947).
- [14] Leslie, I., The Nucleic Acid Content of Tissues and Cells, in *The Nucleic Acids*, Vol. 2, pp. 1—50, Eds. Chargaff, E. and Davidson, J. N., Academic Press, Inc., New York (1955).
- [15] Brachet, J., *Biochemical Cytology*, Academic Press, Inc., New York (1957).
- [16] Askonas, B. A., Simkin, J. L. and Work, T. S., *Nucleic Acids and Protein Synthesis in Animal Tissues*. The structure of nucleic acids and their role in protein synthesis, Ed. Crook, E. M., Cambridge Univ. Press, Cambridge (1957).
- [17] Miller, C. O., Skoog, F., Okumura, F. S., von Saltza, M. H. and Strong, F. M., Isolation, Structure and Synthesis of Kinetin, a Substance Promoting Cell Division, *J. Am. Chem. Soc.*, 78:1375—1380 (1956).
- [18] Miller, C. O., Skoog, F., von Saltza, M. H. and Strong, F. M., Kinetin, A Cell Division Factor from Deoxyribonucleic Acid, *J. Am. Chem. Soc.*, 77:1392 (1955).
- [19] Taliaferro, W. H., and Taliaferro, L. G., Further Studies on the Radiosensitive Stages in Hemolysin Formation, *J. Infect. Diseases*, 95:134—141 (1954b).
- [20] Graham, J. B., Graham, R. M., Neri, L. and Wright, K. A., Enhanced Production of Antibodies by Local Irradiation. I. Measurement of Circulating Antibodies, *J. Immunol.*, 76:103—109 (1956).
- [21] Taliaferro, W. H. and Taliaferro, L. G., Effect of X-rays on Immunity: A Review, *J. Immunol.*, 66: 181—212 (1951).

(孙模世譯 程松高校)

正常及照射过的动物胃腸上皮細胞的 更新、成熟及衰退*

H. Quastler**, F. G. Sherman***, G. Brecher****, E. P. Cronkite**

許多細胞族是一直處于細胞新生、成熟及衰退的精密平衡的更替情況下，許多對放射性敏感的組織就是處于更替情況下的細胞系，如骨髓、胃腸上皮、生精子上皮等等。這些系中的絕大多數，它們正常的活動情況，即細胞新生及衰亡的速度、細胞發生中各相的平均壽命，大致是知道的^[1]。它們對於放射的反應具有一般性的規律，這可以拿小腸對放射的急性反應來作一個例子^[2,3]。這個反應可分為三期：(i) 最初，放射只影響新細胞的產生，不涉及細胞的成熟及衰退，這樣便導致被復小腸的細胞的數目逐漸減少，假若繁殖細胞的恢復不是出現太晚，它們能以非常快的速度生長新的細胞，直至組織達到接近正常細胞的常數。(ii) 第二相影響到成熟細胞；若一直無恢復，則小腸的被復細胞大為減少。但正常的衰退過程亦被改變，殘存的細胞成為一薄層的村被，後者由於動物種屬的不同以及其他條件的不同，可以維持不同的期間。(iii) 第三相就是整個機體由於腸上皮村被的被損害所招致的後果；腸村被全部消失，數小時內便會死亡，這就是“三小時到半日的死亡”；殘存的薄層村被，可以被許多細菌通過，過些時候就會死亡。這三相，即對細胞新生的影響，在無細胞新生時，對正常細胞活動的改變，以及細胞損壞後對整個機體的影響，以上各種情形能在影響更替情況下的細胞系的許多種放射反應中見到。

在 Brookhaven 國立試驗室現時常用的一個新奇的方法，對於正常的及照射過的動物的更替系統的活動詳細情況能給予許多新知識^[4]。這個方法是用以氚標記的胸腺核甙之後作高度明晰的放射自攝影為根據。在用以氚標記的胸腺核甙之後，唯一含有相當量的氚的穩定物質為 DNA（脫氫核糖核酸）^[5,6]。好象使標記物在細胞內減少的唯一方法就是細胞分裂。因此用這樣的標記物可以辨識在注射時正在合成DNA的細胞，並且可以約略估計DNA合成的速度。我們曾用前一種情況來研究正常及照射的小鼠的細胞遷移及代謝；並曾用後一種情況來研究照射後DNA合成的紊亂。所研究的組織為胃腸道的腺上皮，特別是空腸及迴腸的腺上皮。

標記物的結合活動

腸隱窩內胸腺核甙的結合活動是用很短間隔時間殺死的動物來研究的。在二十分鐘內胸腺核甙的結合便達到高峯。這樣的时间是用於標記物由腹腔進入循環，由血流進入

* “第二屆和平利用原子能國際會議文獻”編號 A/CONF. 15/P/913，美國，原文為英文。

** Brookhaven National Laboratory, Upton, Long Island, New York.

*** Brown University, Providence, Rhode Island.

**** National Institutes of Health, Bethesda, Maryland

胞浆,核及由游离的胸腺核甙变为 DNA 的代谢过程。已知前二相为时是短暂的,因此由注射到结合,其间的绝大部分时间是用于新陈代谢。

与标记物结合最多的细胞,大约在 10^9 到 10^{10} 核苷酸中有 10^5 标记的核苷酸。标记的期间为 DNA 加倍期(参考下面)的 5%,这说明在标记过程中,在 100 核苷酸中只有一个是从外源产生的。照理用大量的氚标记的胸腺核甙可以得到高度的标记结果。但事实上不然。Painter 等^[7]已观察到在组织培养时只用非常小量的氚标记胸腺核甙即足以达饱和程度。这引导我们在注射由 $40\mu\text{C}$ (微居里)逐渐小到 $1/2$ 到几分之一的 μC (微居里)之后,在小鼠上看标记的情形。结果是每 20 克小鼠重用 $10\mu\text{C}$ 即可达到饱和程度,这表明由胸腺核甙只能形成很小的一部分 DNA 核苷酸。因为这一部分很小,就发生了胸腺核甙的结合是不是就是 DNA 合成速度的准确指标的疑问。

正常的细胞族活动

正常细胞族的活动曾就回肠深入地研究过。细胞的繁殖活动曾在有丝分裂与标记相联系的基础上分析过。将研究限制于分裂的细胞,这样就可以从整个细胞族中分离出来一个同时的部分。若在分裂的细胞中发现有的被标记,这就表示在注射时它在合成 DNA。若在注射与杀死之间用一系列的不同的间隔,这就可以找出合成 DNA 亚细胞族的以前的历史。曾经见到 DNA 合成终止于分裂开始前的一小时,在不同的细胞间这种时间的变动很小;DNA 的加倍期约为 7 小时,其变动亦不大;DNA 合成的开始与前次分裂之间的间隔其平均时间为 10 小时,不同的细胞间有相当大的变动。标记细胞的百分率,等于 DNA 加倍期与整个再生时的比,在胃肠道内不同的部分及不同的动物,可由 20—70%。

细胞的增生是见于小肠的隐窝,及在成熟期间细胞从隐窝口移向绒毛顶^[1,4]。这种过程曾用标记后连续杀死的动物追踪过,在空肠迁移的持续期为 30 小时,在回肠为 50 小时。

上面举出来的数字,对我们实验室年轻成年 C57 小棕鼠的回肠是正确的。我们知道其它的部分、其他的种,并且认为其它的条件会得到稍微不同的值。

放射性对于 DNA 合成的影响

一、阻抑期 照射对于整个 DNA 合成有影响,那是熟知的^[8-11]。与其他的研究所用的方法相较,我们所用的方法,在量的准确方面较差,但能研究单个的细胞,这是它的长处。在照射后,在标记的细胞上,颗粒减少。这说明在每一细胞上 DNA 的合成减少。当整个身体用 3000 rads——足以使肠坏死的量——照射后,所有胃肠道上皮细胞 DNA 合成的消失快而且剧,在照射完了十分钟注射,由颗粒计数显示出正常的为 $1/2$,六十分钟后注射,由颗粒计数显示出正常的为 $1/3$,于三及四小时后注射,所显示的仅是本底。在所研究的各种腺上皮中:如胃腺、幽门腺、十二指肠、空肠、回肠、升结肠及乙状结肠,没有什么显著差别(图 1)。

结合速度的降低,量越小越慢。全身照射 800 rads 之后,假设标记物是在照射后 $3/4$ 小时注射的,则颗粒计数降至正常的 $1/2$ 。并在数小时内颗粒计数降至本底水平。照射 400 rads,半值期略长于一小时;用 200 rads,半值期约为 $1\frac{1}{2}$ 小时。对于 400 rads 及 200 rads 的照射反应,曾各用三个小鼠来研究过,在这样少数材料的基础上,半值期在 400 rads 时为一小时;在 200 rads 时为 $1\frac{1}{2}$ 小时。这些数据倡议,半值期每在用量减半时增加 20 分

鈷(在所研究的范围内)。

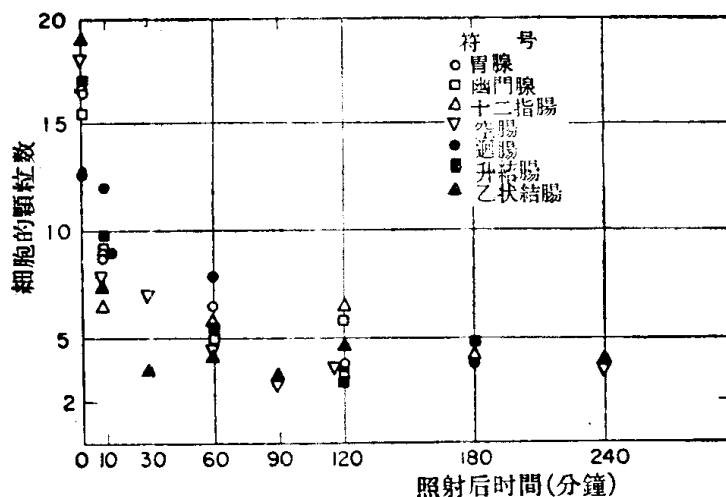


图 1 在照射与注射标记細胞之間的時間內，顆粒數減少的計數
(每一种符号代表 10 个細胞的平均数)

在所研究过的上皮中，DNA 的加倍期为 7 小时，这較 DNA 合成的阻抑期为长。因此，照射除去影响进入 DNA 加倍期的細胞外，势必影响正在 DNA 加倍期中的細胞。这不仅发生于大剂量，亦发生于小到 200 rads 的小剂量。DNA 合成阻抑时间較长的原因，可以这样設想，即照射作用于在 DNA 合成中活动的次級单位；后者是較整个的核为小。

除能影响正在 DNA 合成过程中的細胞外，照射能阻止靜止的細胞进入 DNA 加倍期。在小腸內(研究最彻底的部分)其平均再生期約为十八小时，这就是說在每小时中大約有 5% 再生細胞开始进入 DNA 加倍期。在照射后則不是这样，阻抑期的长短有賴于剂量，在中等及大剂量可以持續半日。

二、恢复期 当用了 3000 rads 照射 24 小时后再給动物注射，有相当于正常动物 1/3 那样多的細胞被标记。每个細胞的顆粒計数为正常的 1/3 到 1/2。設动物标记的時間相同，但較晚一天杀死，标记的細胞数及标记的量沒有显著改变。这表明在照射后一日合成 DNA 的绝大部分或所有細胞不行分裂。照射后两天，隱窩的細胞族大为減少，但还有少数的細胞結合胸腺核甙，就这些細胞顆粒計数是正常的或是較正常的为多。还有，在标记后一日杀死的动物，标记的細胞数及每个細胞的顆粒計数似乎不变。照射后三日，隱窩是空的，但近开口处的少数細胞接受标记，这些細胞标记的很重，顆粒計数为正常的二倍或更多。这些重标记的細胞較正常的大很多。

用 9000 rads 照射后，阻抑更为持久，照射后一日只有少数細胞被标记。但在两日後，被标记的相当多，且有些細胞标记的很重，在这些动物中不見細胞分裂。

对于胃腸道來說，800 rads 的剂量不是致死的，照射后一日或此后被标记的細胞百分率大約是正常的，虽亦偶然有的动物要低一些。照射后一日，每个細胞的顆粒計数是正常的或略減。在标记后一日杀死的动物，表現出顆粒計数減少及被标记的細胞增多，这些是細胞分裂的証据。照射后二及三日，腸上皮的肉眼情况大約是正常的，但有大量标记很重的細胞出現——在三日後尤其是如此——就象在用很大剂量处理的动物所見的一样。

这样的結果表明，照射阻抑分裂較阻抑 DNA 合成更为深重。我們对于我們的結果解释如下：用中等或大剂量照射后 1/2 日，有 DNA 的合成波开始，这个波大約在两日的

時間內通過細胞族，與這個波相伴，有結合率是異常地低。在用大劑量後，這種合成後面不跟隨著細胞分裂。在 800 rads 時，有些細胞分裂。DNA 合成的第二個波是在照射後 1½ 日開始，且持續一個長時間，它以這個時候的多倍體細胞的非常高的結合率為特徵。在用大劑量之後亦不伴隨有絲狀分裂。

照射對於細胞遷移的影響

放射對於細胞遷移的影響，是用小鼠研究，先行標記然後照射，再在不同的時間間隔殺死。在這樣情況下會見到細胞之移向絨毛頂端或為正常或稍為遲緩。

因此在照射後 30 到 50 小時，小腸的細胞層被，大都是由在照射時位於隱窩處和在異常狀態下成熟起來的細胞所組成的。在照射後 DNA 合成的第一抑制波中，變為多倍體的細胞，在照射後第二日開始出現。在用 800 或少於 800 rads 的劑量後，它們為來自處於恢復情況下的隱窩處的更正常的細胞所代替。在用 1200 rads 或更大的劑量後，至少經過一個 DNA 合成抑制週期，大而異常的細胞大約在三日內作成腸的整個層被。

總 結

細胞更替系統的暫時性或永久性損傷，乃是許多放射性影響的特徵。這種機制的重要因素，就是細胞增殖對於放射性能的敏感性。放射性能在多方面阻止生活細胞的增生這是所熟知的。

按理說，照射最初不影響成熟細胞的更替速度，隨著時間的進展，已成熟的細胞在照射時是對放射有相當抵抗力的，這樣的細胞是被從照射以後方才成熟起來的細胞所代替，自然者在照射時是尚未成熟且對放射是敏感的，這樣的細胞自然亦不能認為是正常的，有些是已經成熟而不再行分裂，這些就是在照射後出現於腸隱窩的成熟細胞。

DNA 合成可發生而且真發生在以後不分裂的細胞，因此，第一期不正常的成熟細胞，可被病甚的細胞所代替，這種細胞已經經過一次或多次 DNA 合成流產週期。這些細胞看起來與正常細胞不同，由於經過了分裂過程的一部分，它們似乎在生命上更為延長了，事實上這種額外的生命期可較正常成熟細胞為長，這又可以用腸被層的多倍體細胞活的時間較長為例証。

這個系統的完整的保持，有賴於再生系統的恢復力及上一次多倍體成熟細胞的休止能力，二者間的時間上的關係。

參 考 文 獻

- [1] Leblond, C. P. and Walker, B. F., Renewal of cell populations, Physiol. Rev. 36:255—76 (1956).
- [2] Quastler, H., Modes of acute radiation death, Proc. Internat. Conf. on Peaceful Uses of Atomic Energy, XI:121—4 (1955).
- [3] Quastler, H., The nature of intestinal radiation death, Rad. Res. 4:303—320 (1956).
- [4] Hughes, W. L., Bond, V. P., Brecher, G., Cronkite, E. P., Painter, R. B., Quastler, H. and Sherman, F. G., Studies with tritiated thymidine on cell renewal in mice, Proc. Nat. Acad. Sci. (in press) (1958).
- [5] Friedkin, M., Tilson, D., and Roberts, D., Studies of deoxyribonucleic acid biosynthesis in embryonic tissues with thymidine C-14, Jour. Biol. Chem., 220:627—37 (1956).
- [6] Taylor, J. H., Woods, P. S., and Hughes, W. L., The organization and duplication of chromosomes as revealed by autoradiographic studies using tritium labelled thymidine, Proc. Nat. Acad. Sci. 43:122—8

(1956).

- [7] Painter, R. B., Drew, R. M., and Hughes, W. L., Inhibition of Hela cell growth by intranuclear tritium, *Science*, (in press) (1958).
- [8] Lajtha, L. G., Oliver, R., Kumatori, T. and Ellis, F., On the mechanism of radiation effect on DNA synthesis, *Rad. Res.* 8:1—16 (1958).
- [9] Kelley, L. S., Hirsch, D., Beach, G. and Payne, A. H., Post-irradiation time and dose response studies on the incorporation of P³² into DNA of mouse tissues, *Rad. Res.* 2:490—501 (1955).
- [10] Cater, D. B., Holmes, B. E. and Mees, L. K., Cell division and nucleic acid synthesis in the regenerating liver of the rat, *Acta. Radiol.*, 46:655—67 (1956).
- [11] Brachet, J., *Biochemical Cytology*, Academic Press, New York (1957).
- [12] Friedman, N. B., Cellular dynamics in the intestinal mucosa: The effect of irradiation on epithelial migration and maturation, *J. Exptl. Med.*, 81:553—7 (1945).

(馬仲魁譯)

放射性鈸在人体內之代謝及去污染；生物学 及医学中之絡合作用*

D. Laszlo and H. Spencer

合作者：第一節 J. Samachson，第二節 H. Kroll

本研究所关于金属及络合物之代谢曾于1955年在和平利用原子能国际会议上有所报告。本文所载系最近三年来之进展，尤其是关于人体内放射性锶之代谢命运及其排除，锶及钙代谢之比较，人体内络合物代谢之研究。在原有之基础上许多新的络合物被发现。这些化合物在组织中分布及排泄的资料说明它们是有效的解毒物质。

第一节 放射性锶在人体內之代谢及去污染

由于核能在工业上应用逐增及核武器的不断试验，放射性锶的污染人体为多数人所重视而去污染的方法就更为重要了。曾有許多文献論及放射性锶在实验动物身上的分布及排泄^[1-8]，但迄今尚无放射性锶在人体内代谢之材料^[9-10]。欲解决放射性锶去污染問題，須先研究其在体内之代谢过程。同时，因为放射性锶之毒性与锶/钙比例有关，一般并認為锶之代谢途径与钙相同，故研究锶与钙在人体内代谢之比较也很重要。

在最近三年中本研究所用放射性锶口服或静脉注射的方法，大量研究其代谢及去污染問題；并用放射性锶及放射性钙的方法研究锶与钙的代谢比較。在代谢研究病房的控制条件下，共研究了七十个患者。有些材料曾經報告过^[9-11]。

一 放射性锶在人体內之吸收及排泄

1. 对低钙摄入患者之研究

在21个成年患者身上研究了放射性锶之吸收。用半衰期65天放射γ線之Sr⁸⁵作为示踪物质。每公斤体重口服0.1—0.4微居里Sr⁸⁵之氯化物。患者在全部研究过程中經常服用經過分析的低钙飲食。摄入示踪物质后的40天研究期内，經常測定Sr⁸⁵之血浆含量和患者尿粪中Sr⁸⁵及钙之含量。若干患者曾重复检定，結果相符。測定給予剂量的吸收，未吸收及內源部分。結果发现其吸收很快，服入药物后五分鐘即可在血浆中测出放射性，四小時达到高峯，以后随時間而递減。图1表示了十个患者Sr⁸⁵含量曲線。大多数患者平均吸收20%。有5个为骨質軟化症，甲状旁腺机能減退，前列腺癌及老年性骨質疏松的患者，其吸收率只有9.8—14.8%，較常人为低。

此同位素被吸收后即由腎迅速排出，四小時达到高峯以后漸減。图2表示了十个患

* “第二届和平利用原子能国际会议文献”編號 A/CONF. 15/P/1008，美国，原文为英文。

紐約，孟梯弗利(Montefiore)医院肿瘤病部。

合作者：外科 I: B. Kabakow;

外科 II: H. E. Hart, E. Siegel, B. Rosoff.

者尿中 Sr^{85} 排泄量。由腎排泄是主要途徑，被吸收后的剂量約一半由此途徑排出(表 1)。其中少量約 10% 由腸道排出，即糞中之內源性鈸。口服示踪劑后糞中放射性來源可分外源性及內源性二種。當靜脈內給藥時糞中 Sr^{85} 的排泄是內源性(消化液)的，這些患者由口及靜脈內給予 Sr^{85} ，而同位素經腸胃外的途徑后，糞便中的放射性是內源性的^[11]。

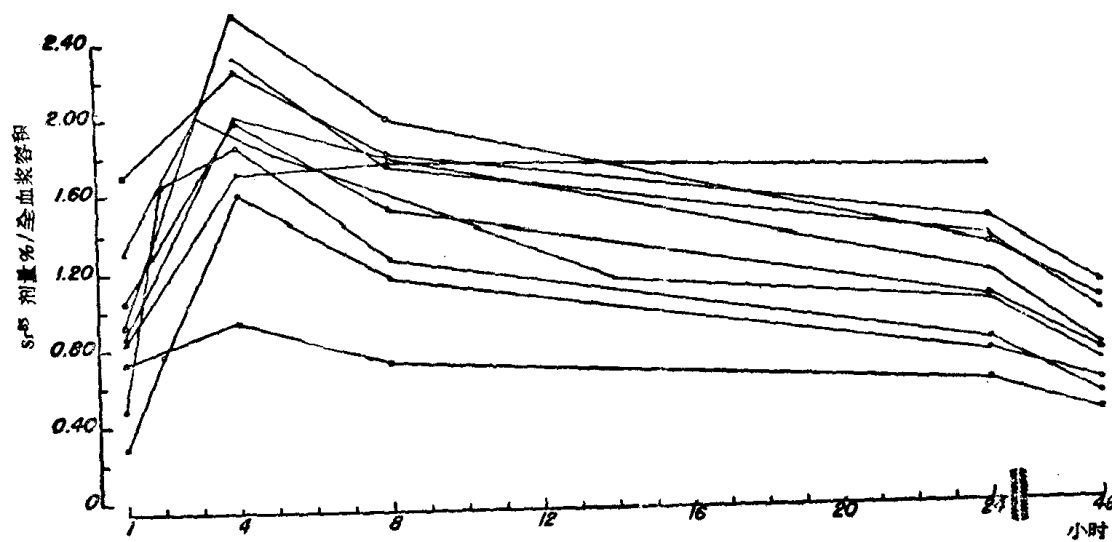


图 1 Sr^{85} 血浆含量(口服)

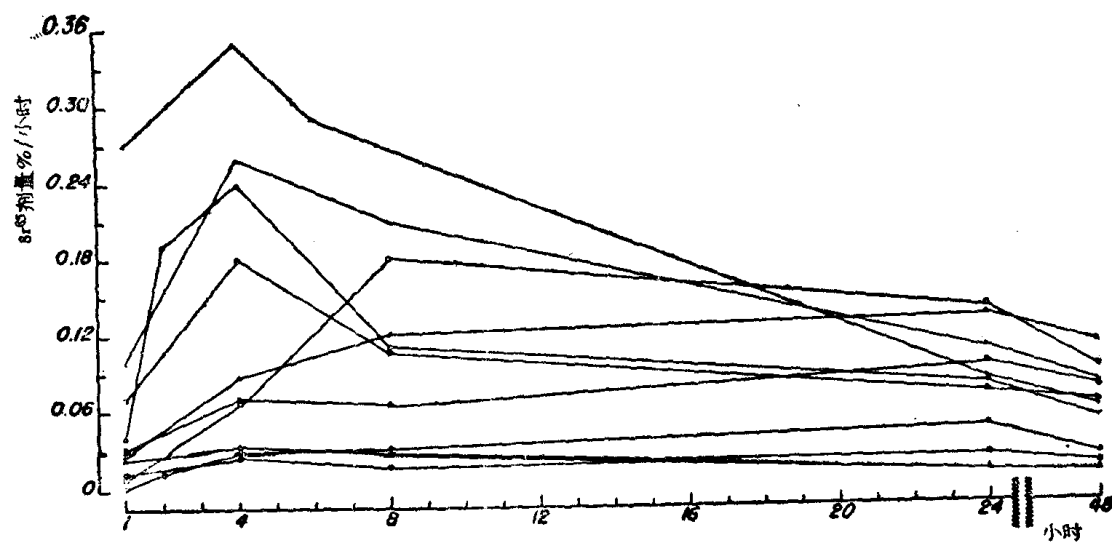


图 2 尿 Sr^{85} 排洩速度

表 1 Sr^{85} 在人体之吸收及排洩

病 人	Sr^{85} 的吸收剂量 %	尿 Sr^{85} 的排洩	
		給予剂量 %	吸收剂量 %
1	20.0	8.8	44.0
2	23.4	14.8	63.2
3	25.4	8.4	33.0
4	22.2	10.5	47.3
5	22.2	11.2	50.5